

В работах [1, 2] получено выражение для температурной функции пластины, не позволяющее получить рассмотренные нами частные случаи. Температурная функция (14) может быть использована для определения температурных полей пластины с теплоотдачей при ее нагреве линейными, плоскими и объемными источниками тепла.

1. Недосека А. Я., Санченко В. А., Ворона Г. А. Распределение температуры при действии на поверхность пластины сосредоточенного источника тепла.— Автомат. сварка, 1977, № 6, с. 1—4.
2. Недосека А. Я., Чернова О. И. Распределение температуры в пластинках с источником сварочного нагрева на различной глубине.— Автомат. сварка, 1977, № 7, с. 1—4.
3. Новацкий В. Вопросы термоупругости.— М. : Изд-во АН СССР, 1962.— 364 с.
4. Паркус Г. Неустановившиеся температурные напряжения.— М. : Физматгиз, 1963.— 252 с.

Институт прикладных проблем механики и математики АН УССР

Поступила в редколлегию
17.12.80

УДК 534.1 : 531.221.3 : 518.5

Л. М. Зорий, Б. А. Попов, Н. В. Шулык

МАШИННО-АНАЛИТИЧЕСКИЙ МЕТОД НАХОЖДЕНИЯ СОБСТВЕННЫХ ЗНАЧЕНИЙ

Опишем машинно-аналитический способ определения собственных значений многопараметрических краевых задач, характеристические определители которых являются функциями нулевого рода от некоторых параметров. Такие задачи возникают, в частности, при изучении малых колебаний и устойчивости сложных континуально-дискретных упругих систем. Для их исследования разработан метод характеристических рядов, основой которого является построение характеристического ряда задачи (системы) и последующее применение обобщенных критериев устойчивости и двухсторонних оценок для низших частот и критических значений [4]. Существенно, что предлагаемый способ позволяет определить в некоторой области пространства параметров все собственные значения.

Пусть известно представление характеристического определителя некоторой краевой задачи в виде ряда

$$\sum_{i=0}^{\infty} \psi_i(B_1, B_2, \dots, B_k) \lambda^i = 0, \quad (1)$$

где λ — основной спектральный параметр (например, параметр частоты, приведенной нагрузки и т. п.); $B_i(p_1, p_2, \dots, p_r)$, $i = \overline{0, k}$ — целые функции всех других параметров p_1, p_2, \dots, p_r .

Изучим уравнение (1) в некоторой области Q пространства параметров, такой, что для значений $p \in Q$ ($p = (p_1, p_2, \dots, p_r)$) все собственные значения (корни уравнения (1)) являются положительными и простыми (для консервативных упругих систем Q — область устойчивости, для неконсервативных — то же, если отсутствует дестабилизация [1]). Для этого рассмотрим уравнение

$$\sum_{i=0}^k \psi_i(B_1, B_2, \dots, B_k) \lambda^i = 0. \quad (2)$$

При $k \rightarrow \infty$ количество действительных корней этого уравнения стремится к бесконечности. Обозначим эти корни через

$$\lambda_1, \lambda_2, \lambda_3, \dots \quad (3)$$

Пусть s корней уравнения (2) при $k = s$ и $s + 1$ корней этого уравнения при $k = s + 1$ уже найдены ($s \geq 2$). Обозначим их через

$$\lambda_1^{(s)}, \lambda_2^{(s)}, \dots, \lambda_{s-2}^{(s)}, \lambda_{s-1}^{(s)}, \lambda_s^{(s)}, \\ \lambda_1^{(s+1)}, \lambda_2^{(s+1)}, \dots, \lambda_{s-2}^{(s+1)}, \lambda_{s-1}^{(s+1)}, \lambda_s^{(s+1)}, \lambda_{s+1}^{(s+1)}.$$

Величины в последовательностях размещены в порядке возрастания модулей. Два последних числа в каждой последовательности могут быть комплексно-сопряженными, остальные, как правило, действительные.

Как известно [2],

$$\lambda_i^{(s)} < \lambda_i^{(s+2)} < \lambda_i^{(s+1)}, \quad i = \overline{1, s-2}, \\ \operatorname{Re} \lambda_{s-1}^{(s)} < \lambda_{s-1}^{(s+2)} < \lambda_{s-1}^{(s+1)}, \\ \lambda_{s-1}^{(s+2)} < \lambda_s^{(s+2)} \approx \operatorname{Re} \lambda_s^{(s+1)}.$$

Из неравенств (4) следует, что значения λ_i^{s+2} ($i = \overline{1, s}$) можно определить как решения уравнения (2) при $k = s + 2$ ($s = 1, 2, \dots$), причем процесс этот сходящийся. Два оставшихся приближения к собственным значениям $\lambda_{s+1}^{(s+2)}$ и $\lambda_{s+2}^{(s+2)}$ находятся как корни квадратного уравнения, полученного в результате деления правой части уравнения (2) при $k = s + 2$ на величину $\prod_{i=1}^s (s - \lambda_i^{s+2})$. Алгоритм нахождения собственных значений начинается с решения уравнения (2) при $k = 2, 3$ (квадратного и кубического уравнений).

В качестве примера рассмотрим краевую задачу

$$f^{IV} + \alpha f''' - \beta f'' - \gamma f' - \delta f = 0; \quad (5)$$

$$\sum_{i=0}^3 a_i f^{(i)}(0) = 0, \quad \sum_{i=0}^3 b_i f^{(i)}(0) = 0, \quad \sum_{i=0}^3 c_i f^{(i)}(1) = 0, \\ \sum_{i=0}^3 d_i f^{(i)}(1) = 0. \quad (6)$$

Ее характеристический определитель выражается, как известно [5], через параметры a_i, b_i, c_i, d_i ($i = \overline{0, 3}$) краевых условий и функции

$$F_{2s} = [\varphi^{(3-s)}]^2 - \varphi^{(2-s)}\varphi^{(4-s)}, \quad W_s = [\varphi^{(s+4)}]^2 - \varphi^{(s+3)}\varphi^{(s+5)}, \quad s = 0, 1, \quad (7)$$

где

$$\varphi(x, \alpha, \beta, \gamma, \delta) = \sum_{n=0}^{\infty} \frac{I_n x^{n+3}}{(n+3)!} \equiv \sum_{k=1}^4 \frac{e^{s_k x}}{\rho_4(s_k)};$$

$$I_k = \begin{cases} 0 & \text{при } k < 0, \\ 1 & \text{при } k = 0, \\ \alpha I_{k-1} + \beta I_{k-2} + \gamma I_{k-3} + \delta I_{k-4} & \text{при } k > 0; \end{cases}$$

s_k — корни соответствующего характеристического полинома

$$\rho_4(s) = s^4 - \alpha s^3 - \beta s^2 - \gamma s - \delta.$$

Отметим, что $\varphi(x)$ — решение задачи Коши для уравнения (5) при начальных условиях $f(0) = f'(0) = f''(0) = 0, f'''(0) = 1$. В случае $\alpha = 0, \gamma = 0$ выражения для функций (7) упрощаются, причем указанные функции выражаются через основную функцию F_4 и ее производные:

$$F_0(x, \beta, \delta) = 1 - \delta F_4(x, \beta, \delta),$$

$$W_0(x, \beta, \delta) = -\beta - \delta F_2(x, \beta, \delta),$$

$$W_1(x, \beta, \delta) = \beta^2 + \delta^2 F_4(x, \beta, \delta),$$

$$F_2(x, \beta, \delta) = \frac{1}{2} \frac{\partial^2 F_4(x, \beta, \delta)}{\partial x^2} - \frac{1}{2} F_4(x, \beta, \delta), \quad (8)$$

а

$$\varphi(x, \beta, \delta) = \frac{1}{\mu^2 + \nu^2} \left(\frac{\text{sh } \mu x}{\mu} - \frac{\sin \nu x}{\nu} \right),$$

где

$$\mu^2 = \sqrt{\delta + \frac{1}{4} \beta^2} + \frac{1}{2} \beta; \quad \nu^2 = \sqrt{\delta + \frac{1}{4} \beta^2} - \frac{1}{2} \beta.$$

Рассмотрим выражение для функции F_0 в виде характеристического ряда [5]

$$F_0 = 1 - \delta B_1 - \delta B_2 - \delta B_3 + \dots \quad (9)$$

Здесь

$$B_k = 2^{2k-1} \sum_{m=0}^{\infty} C_{m+2k-1}^{2k-1} \frac{\beta^m x^{2m+4k}}{(2m+4k)!}, \quad k = 1, 2, \dots \quad (10)$$

Поскольку

$$B_1 = 2 \frac{\partial f(x, \beta)}{\partial x},$$

где

$$f(x, \beta) = \frac{\text{ch}(\sqrt{\beta}x) - 1}{\beta} = \frac{x^2}{2!} + \frac{\beta x^4}{4!} + \frac{\beta^2 x^6}{6!} + \dots,$$

то

$$B_k = \frac{2^{2k-1}}{(2k-1)!} \frac{\partial^{2k-1} f(x, \beta)}{\partial x^{2k-1}}, \quad k = 1, 2, \dots$$

Эта формула позволяет путем последовательного дифференцирования получать суммы рядов (10) в замкнутом виде с использованием ЭЦВМ [6]: Коэффициенты $B_1 - B_6$, вычисленные на ЭЦВМ «МИР-2», приведены ниже:

$$\begin{aligned} B [1] &= \Phi 2 \times X + (-2) \times B \uparrow (-1) \times \Phi 1 + 2 \times B (-2), \\ B [2] &= 11/2 \times B \uparrow (-2) \times \Phi 2 \times X + (-3)/2 \times B \uparrow (-2) \times \Phi 1 \times X \uparrow 2 + 1/6 \times \\ &\times B \uparrow (-1) \times \Phi 2 \times X \uparrow 3 + (-8) \times B \uparrow (-3) \times \Phi 1 + 8 \times B \uparrow (-4), \\ B [3] &= 193/8 \times B \uparrow (-4) \times \Phi 2 \times X + (-65)/8 \times B \uparrow (-4) \times \Phi 1 \times X \uparrow 2 + 37/24 \times \\ &+ B \uparrow (-3) \times \Phi 2 \times X \uparrow 3 + (-1)/6 \times B \uparrow (-3) \times \Phi 1 \times X \uparrow 4 + 1/120 \times B \uparrow (-2) \times \Phi 2 \times \\ &\times X \uparrow 5 + (-32) \times B \uparrow (-5) \times \Phi 1 + 32 \times B \uparrow (-6), \\ B [4] &= 1619/16 \times B \uparrow (-6) \times \Phi 2 \times X + (-595)/16 \times B \uparrow (-6) \times \Phi 1 \times X \uparrow 2 + \\ &+ 397/48 \times B \uparrow (-5) \times \Phi 2 \times X \uparrow 3 + (-29)/24 \times B \uparrow (-5) \times \Phi 1 \times X \uparrow 4 + 7/60 \times \\ &\times B \uparrow (-4) \times \Phi 2 \times X \uparrow 5 + (-1)/144 \times B \uparrow (-4) \times \Phi 1 \times X \uparrow 6 + 1/5040 \times B \uparrow (-3) \times \\ &\times \Phi 2 \times X \uparrow 7 + (-128) \times B \uparrow (-7) \times \Phi 1 + 128 \times B \uparrow (-8), \\ B [5] &= 53381/128 \times B \uparrow (-8) \times \Phi 2 \times X + (-20613)/128 \times B \uparrow (-8) \times \Phi 1 \times X \uparrow 2 + \\ &+ 14893/384 \times B \uparrow (-7) \times \Phi 2 \times X \uparrow 3 + (-103)/16 \times B \uparrow (-7) \times \Phi 1 \times X \uparrow 4 + \\ &+ 1471/1920 \times B \uparrow (-6) \times \Phi 2 \times X \uparrow 5 + (-21)/320 \times B \uparrow (-6) \times X \uparrow 6 + 79/20160 \times \\ &\times B \uparrow (-5) \times \Phi 2 \times X \uparrow 7 + (-1)/6720 \times B \uparrow (-5) \times \Phi 1 \times X \uparrow 8 + 1/362880 \times \\ &\times B \uparrow (-4) \times \Phi 2 \times X \uparrow 9 + (-512) \times B \uparrow (-9) \times \Phi 1 + 512 \times B \uparrow (-10), \\ B [6] &= 436109/256 \times B \uparrow (-10) \times \Phi 2 \times X + (-173965)/256 \times B \uparrow (-10) \times \Phi 1 \times \\ &X \uparrow 2 + 131975/768 \times B \uparrow (-9) \times \Phi 2 \times X \uparrow 3 + (-11773)/384 \times B \uparrow (-9) \times \Phi 1 \times X \uparrow \\ &\uparrow 4 + 1559/384 \times B \uparrow (-8) \times \Phi 2 \times X \uparrow 5 + (-1567)/3840 \times B \uparrow (-8) \times \Phi 1 \times X \uparrow 6 + \\ &+ 839/26880 \times B \uparrow (-7) \times \Phi 2 \times X \uparrow 7 + (-1)/560 \times B \uparrow (-7) \times \Phi 1 \times X \uparrow 8 + \\ &+ 53/725760 \times B \uparrow (-6) \times \Phi 2 \times X \uparrow 9 + (-1)/518400 \times B \uparrow (-6) \times \Phi 1 \times X \uparrow 10 + \\ &+ 1/39916800 \times B \uparrow (-5) \times \Phi 2 \times X \uparrow 11 + (-2048) \times B \uparrow (-11) \times \Phi 1 + 2048 \times \\ &\times B \uparrow (-12). \end{aligned}$$

Здесь использованы такие обозначения: $B = \beta$, $\Phi 1 = \text{ch}(x\sqrt{\beta})/\beta$, $\Phi 2 = \text{sh}(x\sqrt{\beta})/\beta$. По описанному алгоритму найдены корни многочленов вида (2) невысокой степени ($k \leq 4$) для следующих случаев:

1) $F_0(1) = 0$ (задача о малых колебаниях и устойчивости прямолинейной упругой консоли, нагруженной следящей силой [3]). Краевые условия для этой задачи $f(0) = f'(0) = f''(1) = f'''(1) = 0$;

2) $F_4(1) = 0$ (аналогичная задача для сжатого (растянутого) стержня, один конец которого закреплен шарнирно, другой жестко) и $f(0) = f''(0) = f(1) = f'(1) = 0$.

С увеличением степени многочлена (1) выражения для его коэффициентов все более усложняются и вычислять корни описанным выше способом становится затруднительно.

Для больших λ_j могут быть использованы асимптотические выражения, получаемые из формул

$$F_0 = \frac{1}{(\mu^2 + \nu^2)^2} [\nu^4 + \mu^4 + 2\mu^2\nu^2 \operatorname{ch} \mu x \cos \nu x + \mu\nu(\nu^2 - \mu^2) \operatorname{sh} \mu x \sin \nu x],$$

$$F_4 = \frac{1}{(\mu^2 + \nu^2)^2} \left[(\mu^2 - \nu^2) \frac{\operatorname{sh} \mu x \sin \nu x}{\mu\nu} + 2(1 - \operatorname{ch} \mu x \cos \nu x) \right],$$

$$F_2 = \frac{1}{(\mu^2 + \nu^2)^2} [2\mu\nu \operatorname{sh} \mu x \sin \nu x + (\nu^2 - \mu^2)(1 - \cos \nu x \operatorname{ch} \mu x)],$$

$$W_0 = \frac{1}{(\mu^2 + \nu^2)^2} [\nu^6 + \mu^6 + \mu^2\nu^2(\nu^2 - \mu^2) - 2\mu^3\nu^3 \operatorname{sh} \mu x \sin \nu x], \quad (11)$$

$$W_1 = \frac{1}{(\mu^2 + \nu^2)^2} [\mu^8 + \nu^8 - 2\mu^4\nu^4 \operatorname{ch} \mu x \cos \nu x + \mu^3\nu^3(\mu^2 - \nu^2) \operatorname{sh} \mu x \sin \nu x].$$

Формулы (11) — результат подстановки значений (7) в выражения (8).

Из равенства $F_0(1) = 0$ получаем для λ_j асимптотическое выражение ($\beta \ll \delta$)

$$\lambda_j \approx \left(\frac{\pi}{2} + j\pi \right)^4. \quad (12)$$

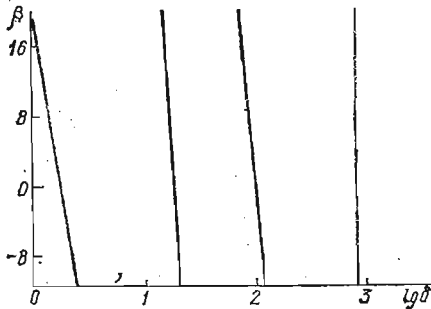


Рис. 1

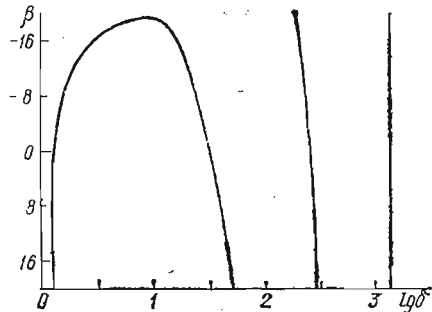


Рис. 2

К такому выражению можно прийти исходя из уравнений $F_1(1) = 0$ или $W_1(1) = 0$.

Для случая $F_4(1) = 0$ при тех же условиях получаем асимптотическое выражение

$$\lambda_j \approx \left(\frac{\pi}{4} + j\pi \right)^4, \quad j = 4, 5, \dots \quad (13)$$

Формулы (12), (13) достаточно точны при $j \geq 5$ и $\beta \leq 20$. Так, при $j = 5$, $\beta = 20$ ошибка асимптотической формулы (12) для случая $F_0(1) = 0$ — 5%, а при $j = 10$, $\beta = 19$ — 1,3%.

Полученные по асимптотическим формулам значения корней могут быть уточнены (как решения соответствующих трансцендентных уравнений). Результаты решения рассмотренных примеров (ветви кривых собственных значений $\lambda_1 - \lambda_4$) приведены на рис. 1, 2 соответственно.

Предложенный метод определения частот малых колебаний многопараметрических упругих систем применим к более сложным случаям, когда например, правая часть соответствующего трансцендентного уравнения является линейной комбинацией функций (11) и их производных, параметр $\gamma \neq 0$ и т. д.

1. Байдак Д. А., Зорий Л. М. Один способ обоснования динамического метода исследования упругих систем. — Мат. методы и физ.-мех. поля, 1975, вып. 1, с. 89—98.
2. Балинский А. И., Зорий Л. М. К исследованию зависимости низших частот деформируемых систем от параметров. — Физ.-хим. механика материалов, 1971, 7, № 3, с. 99—100.
3. Болотин В. В. Неконсервативные задачи теории упругой устойчивости. — М.: Физматгиз, 1961. — 339 с.
4. Зорий Л. М. К развитию аналитических методов исследования задач динамики упругих и гидроупругих систем. — Мат. методы и физ.-мех. поля, 1978, вып. 7, с. 16—20.
5. Зорий Л. М. Про одне зображення характеристичних рівнянь деяких крайових задач для систем з розподіленими параметрами. — Доп. АН УРСР. Сер. А, 1968, № 12, с. 1072—1075.
6. Попов Б. О., Монцібович Б. Р. Розв'язання задач на машинах для інженерних розрахунків. — К.: Наук. думка, 1978. — 347 с.
7. Чудновский В. Г. Методы расчета колебаний и устойчивости стержневых систем. — Киев: Изд-во АН УССР, 1952. — 416 с.

Институт прикладных проблем
механики и математики АН УССР
Физико-механический институт
им. Г. В. Карпенко АН УССР

Поступила в редколлегию
21.05.79

УДК 539.3 : 534.26

Е. А. Вдович

ОПТИМИЗАЦИЯ ИМПУЛЬСА ПЕРИОДИЧЕСКОЙ ЗВУКОВОЙ ВОЛНЫ, ПАДАЮЩЕЙ НА УПРУГИЙ СЛОЙ В АКУСТИЧЕСКОЙ СРЕДЕ

Рассмотрим упругий слой (среда 2) толщины $2h$, контактирующий со стороны плоскопараллельных границ $z = \pm h$ с акустической средой, характеристики которой для $z > h$ (среда 1) равны ρ_1, c_1 , а для $z < -h$ (среда 3) — ρ_3, c_3 (ρ_i, c_i — плотность и скорость продольных волн в i -й среде). В среде 1 на расстоянии $z = z_0$ ($z_0 \gg h$) расположена плоскость сосредоточенных массовых сил вида $\vec{F} = \left\{ 0, 0, k_0 f(t) \cos\left(\frac{\omega y}{c_1}\right) \frac{d}{dz} \delta(z - z_0) \right\}$, возбуждающих периодический по координате y импульс продолжительности t_1 , который достигает поверхности $z = h$ в момент времени $t = \frac{z_0 - h}{c_1}$.

Задача определения отраженной волны, возникшей в результате взаимодействия звукового импульса с упругим слоем, с использованием метода разделения переменных [1] сводится к решению системы волновых уравнений

$$\frac{\partial^2 \Phi_i}{\partial \xi^2} - \kappa_i^2 \frac{\partial^2 \Phi_i}{\partial \tau^2} - a^2 \omega^2 \Phi_i = n_0 f_i(\tau) \delta(\xi - \xi_0), \quad (1)$$

$$\frac{\partial^2 \Psi}{\partial \xi^2} - c^2 \frac{\partial^2 \Psi}{\partial \tau^2} - a^2 \omega^2 \Psi = 0 \quad (i = \overline{1, 3}) \quad (2)$$

с условиями сопряжения на границах раздела

$$\begin{aligned} \frac{\partial \Phi_1}{\partial \xi} &= \frac{\partial \Phi_2}{\partial \xi} + a\omega\Psi, \quad \frac{\partial^2 \Phi_1}{\partial \tau^2} + n_0 \kappa^{-2} f(\tau) \delta(\xi - \xi_0) = \\ &= m_1 \left[\frac{\partial^2 \Phi_2}{\partial \tau^2} + 2c^{-2} a\omega \left(a\omega \Phi_2 + \frac{\partial \Psi}{\partial \xi} \right) \right] \quad \text{при } \xi = 1; \end{aligned} \quad (3)$$

$$\frac{\partial \Phi_3}{\partial \xi} = \frac{\partial \Phi_2}{\partial \xi} + a\omega\Psi, \quad \frac{\partial^2 \Phi_3}{\partial \tau^2} = m_3 \left[\frac{\partial^2 \Phi_2}{\partial \tau^2} + 2c^{-2} a\omega \left(a\omega \Phi_2 + \frac{\partial \Psi}{\partial \xi} \right) \right] \quad (4)$$

при $\xi = -1$;

$$\frac{\partial^2 \Psi}{\partial \tau^2} - 2c^{-2} \left(\frac{\partial^2 \Psi}{\partial \xi^2} + a\omega \frac{\partial \Phi_2}{\partial \xi} \right) = 0 \quad \text{при } \xi = \pm 1; \quad (5)$$

условиями затухания на бесконечности

$$\lim_{\xi \rightarrow \infty} \Phi_1 = 0, \quad \lim_{\xi \rightarrow -\infty} \Phi_3 = 0 \quad (6)$$